

О ПЛАСТИЧЕСКИХ СВОЙСТВАХ МАТЕРИАЛА,
СОДЕРЖАЩЕГО ПЛАСТИНЧАТЫЕ ВКЛЮЧЕНИЯ

В. В. ДУДУКАЛЕНКО, Н. Н. ЛЫСАЧ

(Куйбышев)

В постановке теории идеальной пластичности рассмотрим влияние концентрации пластинчатых включений и их относительных размеров на значение предела пластичности композиционного материала. Указанную структуру имеют материалы, полученные спеканием алюминиевой пудры (САП), которые обладают высокой жаропрочностью и низким удельным весом. Из наиболее распространенных материалов этого типа промышленностью освоена технология четырех марок САП, различающихся по концентрации и размерам жестких включений Al_2O_3 .

1. Композиционная структура образована матрицей и включениями, прочно связанными между собой. Напряжения σ_{ij} удовлетворяют условию пластичности Мизеса

$$(\sigma_{ij} - \delta_{ij}\sigma_{ii}/3)(\sigma_{ij} - \delta_{ij}\sigma_{mm}/3) = k^2, k_1^2 \quad (1.1)$$

где k, k_1 — пределы пластичности на сдвиг в матрице и включениях.

Упругие деформации по сравнению с пластическими предполагаются пренебрежимо малыми. Поля скоростей деформаций e_{ij} и напряжений являются статистически однородными и удовлетворяют условию эргодичности, т. е. средние значения $\langle \sigma_{ij} \rangle, \langle e_{ij} \rangle$ можно вычислять, используя интегрирование по макрообъему V .

Диссипативную функцию $D^*(\langle e_{ij} \rangle)$, определяющую макросвойства композиционного материала, получим как минимальное значение скорости диссипации энергии [2], отнесенной к единице макрообъема для произвольно фиксированных значений $\langle e_{ij} \rangle$:

$$D^* = \min \frac{1}{V} \int_V D(e) dV, \quad \langle \sigma_{ij} \rangle = \frac{\partial D^*}{\partial \langle e_{ij} \rangle} \quad (1.2)$$

Здесь при условии Мизеса (1.1) в матрице $D(e) = k[e_{ij}e_{ij}]^{1/2}$ и на включениях $D(e) = k_1[e_{ij}e_{ij}]^{1/2}$ [2]; предполагается несжимаемость $e_{ii} = 0$.

Пусть геометрическая структура материала задана функцией κ , принимающей значение ноль в области матрицы и единица в области включений V_1 . Тогда диссипативную функцию в произвольной точке объема V представим в виде

$$D = [f_{ij}f_{ij}]^{1/2}, \quad f_{ij} = [k(1-\kappa) + k_1\kappa]e_{ij} \quad (1.3)$$

Учитывая неаналитичность функции $[f_{ij}f_{ij}]^{1/2}$, представляющей собой конус над пространством f_{ij} , аппроксимируем ее в окрестности точки $\langle f_{ij} \rangle$ параболоидом вращения, вписанным в конус. Таким образом, после осреднения имеет место приближение, содержащее второй порядок малости относительно флуктуаций f_{ij}' :

$$\langle [f_{ij}f_{ij}] \rangle^{1/2} \approx \langle [f_{ij}] \langle f_{ij} \rangle \rangle^{1/2} + \langle f_{ij}' f_{ij}' \rangle / 2 \langle [f_{ij}] \langle f_{ij} \rangle \rangle^{1/2} \quad (1.4)$$

При использовании вариационного метода [3] требуется приближение функционала (1.2), поэтому предполагается малость f_{ij}' в среднем, т. е. необходимое условие, что мера множеств точек пространства x_i , где значения f_{ij}' неограничены, равна нулю. Этим множествам соответствуют поверхности разрыва скоростей v_i , которые характерны для пластических сред и имеют место не только на границе матрица — включение. Вычисление функционала (1.2) производится в классе обобщенных функций, которые представляются интегралом Фурье (спектральными разложениями).

Условие несжимаемости $v_{i,i}=0$ с использованием обобщенных производных эквивалентно непрерывности нормальной составляющей скорости на поверхности разрыва [4]. Таким образом, при вычислении (1.2) не требуется отдельного рассмотрения соотношений на поверхности разрывов.

Можно показать выполнение неравенств

$$\langle [f_{ij}f_{ij}] \rangle^{1/2} \leq \langle [f_{ij}f_{ij}] \rangle^{1/2} \leq \langle f_{ij} \rangle \langle f_{ij} \rangle^{1/2} + \langle f_{ij}'f_{ij}' \rangle / 2 [\langle f_{ij} \rangle \langle f_{ij} \rangle]^{1/2}$$

из которых следует, что приближение $D \approx [\langle f_{ij}f_{ij} \rangle]^{1/2}$ является более точным, чем соотношение (1.4). Представляя интеграл по объему матрицы в виде разности интегралов по объему V и области включений V_1 , в результате осреднений получим

$$[\langle f_{ij}f_{ij} \rangle]^{1/2} = k [\langle e_{ij}e_{ij} \rangle + C \langle e_{ij}e_{ij} \rangle_1 q]^{1/2}, \quad C = V_1/V \quad (1.5)$$

где $\langle e_{ij}e_{ij} \rangle_1$ — осреднение по объему включений; C — концентрация включений; $q = (k_1^2 - k^2) k^{-2}$.

Приближение (1.4) дает возможность преодолеть трудности, связанные с нелинейностью уравнений теории пластичности. Однако нелинейность статистической задачи создает осложнения, которые имеют место в аналогичных расчетах упругих композитов. В этом случае используется предположение [5] о возможности в общих соотношениях приближенно принять деформированные состояния включений одинакового типа (ориентации, формы) равными значениями деформаций средних по однотипным включениям. При вычислении функционала (1.5) это предположение соответствует приближению $\langle e_{ij}e_{ij} \rangle_n = \langle e_{ij} \rangle_n \langle e_{ij} \rangle_n$, где $\langle \dots \rangle_n$ — осреднение по области включений n -го типа. Таким образом,

$$D^* = \min k \left[\langle e_{ij}e_{ij} \rangle + q \sum_n C_n \langle e_{ij} \rangle_n \langle e_{ij} \rangle_n \right]^{1/2} \quad (1.6)$$

$$\langle e_{ij} \rangle_n = \langle e_{ij} \rangle + \langle \chi_n' e_{ij}' \rangle / C_n \quad (1.7)$$

Здесь флуктуации, обозначаемые штрихом, рассматриваются относительно средних по объему V . C_n — концентрация включений n -го типа; χ_n принимает значение единица на n -включениях и ноль в остальных точках объема V . Заметим, что

$$\chi_n \chi_m = \delta_{nm}, \quad \sum_n C_n = C, \quad \sum_n C_n \langle e_{ij} \rangle_n = C \langle e_{ij} \rangle_1 \quad (1.8)$$

2. При варьировании функционала (1.6) учитываем, что переход по формуле Гаусса — Остроградского к интегралам по поверхности S объема V дает значения поверхностных интегралов, отнесенных к объему V , которые при неограниченном возрастании V стремятся к нулю, как отношение площади к объему S/V . Учитывая это замечание, после варьирования по флуктуациям поля скоростей v_i получим условие минимальности функционала (1.6)

$$\frac{1}{2} v_{i,j}' + q \sum_n \langle e_{ij} \rangle_n \chi_{n,j}' + k^{-1} P_{,i}' = 0, \quad v_{i,i}' = 0 \quad (2.1)$$

где P' — флуктуации давления $\sigma_{ii}/3$.

Уравнение (2.1) решается методом интегрального преобразования Фурье. Функции и их спектральные разложения по волновым числам ξ будем обозначать одинаковыми буквами и различать указанием на аргумент x или ξ . Причем функции $g_{ijkl}(x)$ соответствует спектральное разложение

$$g_{ijkl}(x) = \int g_{ijkl}(\xi) e^{i\xi x} dx$$

Из уравнения (2.1) определяется $P'_{,i}$ при $v'_{i,i} = 0$:

$$P'_{,i} = -kq \sum_n \langle e_{kl} \rangle_n \xi_k \xi_l |\xi|^{-2} \kappa_{n,i} \quad (2.2)$$

Спектральное представление функции Грина найдем, решая уравнение (2.1) с учетом (2.2),

$$\begin{aligned} \frac{1}{2} v'_{,i}(\xi) &= iq \sum_n \langle e_{il} \rangle_n \xi_l |\xi|^{-2} \kappa'_n - iq \sum_n \langle e_{kl} \rangle_n \xi_i \xi_k \xi_l |\xi|^{-4} \kappa'_n \\ e'_{ij}(\xi) &= \frac{1}{2} i(\xi_j v'_{,i} - \xi_i v'_{,j}) = q \sum_n \kappa'_n \left\{ 2 \frac{\xi_i \xi_j \xi_k \xi_l}{|\xi|^4} \langle e_{kl} \rangle_n - \right. \\ &\quad \left. - \frac{\xi_i \xi_l}{|\xi|^2} \langle e_{jl} \rangle_n - \frac{\xi_j \xi_l}{|\xi|^2} \langle e_{il} \rangle_n \right\} = g_{ijkl}(\xi) \sum_n \langle e_{kl} \rangle_n \kappa'_n(\xi). \end{aligned}$$

В результате будем иметь

$$g_{ijkl} = 2\xi_i \xi_j \xi_k \xi_l |\xi|^{-4} - \xi_i \xi_l |\xi|^{-2} \delta_{jk} - \xi_j \xi_l |\xi|^{-2} \delta_{ik} \quad (2.3)$$

причем

$$e_{ij} = q \int g_{ijkl}(x-y) \sum_n \langle e_{kl} \rangle_n \kappa'_n(y) dy \quad (2.4)$$

Для вычисления значений $\langle e_{ij} \rangle_n$ соотношение (2.4) умножим на κ'_m и произведем осреднение по формуле (1.7)

$$C_m \langle e_{ij} \rangle_m - \langle e_{ij} \rangle = q \int g_{ijkl}(x-y) \sum_n \langle e_{kl} \rangle_n \langle \kappa'_m(x) \kappa'_n(y) \rangle dy \quad (2.5)$$

Выполняя суммирование в уравнении (2.5), с учетом свойств индикаторной функции (1.8) получим

$$\sum_n C_n [\langle e_{ij} \rangle_n - \langle e_{ij} \rangle] = \frac{q}{V} \iint g_{ijkl}(x-y) \sum_n \langle e_{kl} \rangle_n \kappa'_n(x) \kappa'_n(y) dx dy \quad (2.6)$$

Используя теорему Остроградского — Гаусса, равенство нулю поверхностного интеграла, деленного на V , при $V \rightarrow \infty$, уравнение (2.1), условие несжимаемости $v'_{i,i} = 0$, уравнение (1.7), получим

$$\langle e'_{ij} e'_{ij} \rangle = -\langle e'_{i,j} v'_{i,j} \rangle = -q \sum_n \langle e_{ij} \rangle_n C_n [\langle e_{ij} \rangle_n - \langle e_{ij} \rangle] \quad (2.7)$$

Воспользовавшись формулами (1.8) и (2.7), функционал (1.6) запишем следующим образом:

$$D^* = k[\langle e_{ij} \rangle \langle e_{ij} \rangle + qC \langle e_{ij} \rangle_i \langle e_{ij} \rangle]^{1/2} \quad (2.8)$$

Решение линейной системы уравнений (2.5) относительно $\langle e_{ij} \rangle_n$ и вычисление $\langle e_{ij} \rangle_i$ по формуле (1.8) определяют диссипативную функцию (2.8). Однако необходимо задать коэффициенты уравнений (2.5),

которые зависят от статистических свойств геометрической структуры материала.

Покажем, что при $m \neq n$ выполняется равенство

$$\begin{aligned} & \frac{1}{V_m} \int \int g_{ijkl}(x-y) \kappa_m(x) \kappa_n(y) dx dy = \\ & = \frac{1}{V-V_n} \int \int g_{ijkl}(x-y) \kappa_n(y) [1-\kappa_n(x)] dx dy \end{aligned} \quad (2.9)$$

Левая часть равенства (2.9) определяет средние по области κ_m значения деформаций в статистически однородном материале, созданные наличием включений κ_n , правая — средние по области $V-V_n$ (или $1-\kappa_n(x)$), равной сумме областей всех включений и матрицы V_m . Из независимости распределения включений различных ориентаций и эргодичности поля скоростей деформаций следует, что рассматриваемые средние значения будут одинаковыми при осреднении по области любого вида включений $m \neq n$.

Используя равенства (2.6) и (2.9) в уравнении (2.5) и осуществляя предельный переход к непрерывному распределению ориентаций n , можно показать [5]:

$$\langle e_{ij} \rangle_m - \langle e_{ij} \rangle = q S^{(m)} \langle e_{kl} \rangle_m - C [\langle e_{ij} \rangle_1 - \langle e_{ij} \rangle] / (1-C) \quad (2.10)$$

где

$$\begin{aligned} S_{ijkl}^{(m)} &= \int g_{ijkl}(x-y) \lambda_m(x-y) dy \\ \lambda_m(x-y) &= \lim_{c_m \rightarrow 0} [\langle \kappa_m'(x) \kappa_m'(y) \rangle / C_m] \end{aligned} \quad (2.11)$$

При решении уравнений (2.10) потребуются свойства интегралов (2.11), которые при определенных условиях равны интегралам Эшелби [6].

3. Будем считать включения пластинчатыми, имеющими одинаковый порядок по длине и ширине. Ориентация включений, которую будем задавать нормалью к пластинам n_i , равновероятна по всем направлениям. Тип включений, по которым производится осреднение (1.7), определяется единичным вектором n_i .

Решение тензорного уравнения (2.10) можно получить после вычисления значений $S_{ijkl}^{(n)}$. Для этого рассмотрим симметризованную по всем индексам часть тензора $S_{ijkl}^{(n)}$, которая в соответствии с формулой (2.3) выражается через спектр $\Lambda_n^{(n)}(\xi)$ корреляционной функции $\lambda_n(x-y)$ в (2.11)

$$R_{ijkl}^{(n)} = \int \xi_i \xi_j \xi_k \xi_l |\xi|^{-4} \Lambda_n^{(n)}(\xi) d\xi \quad (3.1)$$

Анизотропия тензора $R_{ijkl}^{(n)}$ определена только ориентацией включений n_i , следовательно, общий вид тензора можно представить тензорной функцией векторного аргумента

$$R_{ijkl}^{(n)} = A \delta_{(ij} \delta_{kl)} + B \delta_{(ij} n_k n_l) + D n_i n_j n_k n_l \quad (3.2)$$

$$\delta_{(ij} \delta_{kl)} = \delta_{ij} \delta_{kl} + \delta_{ik} \delta_{jl} + \delta_{il} \delta_{jk}$$

$$\delta_{(ij} n_k n_l) = \delta_{ij} n_k n_l + \delta_{ik} n_j n_l + \delta_{il} n_j n_k + \delta_{jk} n_i n_l + \delta_{jl} n_i n_k + \delta_{kl} n_i n_j$$

где A, B, D — скалярные величины; скобки означают симметризацию по всем индексам.

Если ориентация включений направлена по оси x_3 , то корреляционную функцию будем представлять в виде $\lambda_3(x_1^2+x_2^2+a^2x_3^2)$, т. е. в сечениях, ортогональных оси n_i , функция λ_n обладает свойством статистической изотропности. Преобразование $y_1=x_1, y_2=x_2, y_3a^{-1}=x_3$ приводит к изотропной корреляционной функции. При этом сжатие изотропного распределения в пространстве y ; соответствует пластинчатым включениям ($a \ll 1$); растяжение — иглообразным включениям ($a \gg 1$).

Представление корреляционной функции λ_3 в пространстве Фурье имеет вид $\Lambda^{(3)}(\xi_1^2+\xi_2^2+a^2\xi_3^2)$, откуда следует, что интегралы (3.1) равны нулю, за исключением значений

$$R_{1111}^{(3)}=R_{11}=\iiint_{-\infty}^{+\infty} \frac{\xi_1^4}{(\xi_1^2+\xi_2^2+\xi_3^2/a^2)^2} \frac{\Lambda^{(3)}(|\xi|)}{a} d\xi_1 d\xi_2 d\xi_3=R_{2222}^{(3)}$$

$$R_{1122}^{(3)}=R_{12}=\iiint_{-\infty}^{+\infty} \frac{\xi_1^2\xi_2^2}{(\xi_1^2+\xi_2^2+\xi_3^2/a^2)^2} \frac{\Lambda^{(3)}(|\xi|)}{a} d\xi_1 d\xi_2 d\xi_3$$

$$R_{1133}^{(3)}=R_{13}=R_{2233}^{(3)}=\iiint_{-\infty}^{+\infty} \frac{\xi_1^2\xi_3^2}{(\xi_1^2+\xi_2^2+\xi_3^2/a^2)^2} \frac{\Lambda^{(3)}(|\xi|)}{a^3} d\xi_1 d\xi_2 d\xi_3$$

$$R_{3333}^{(3)}=R_{33}=\iiint_{-\infty}^{+\infty} \frac{\xi_3^4}{(\xi_1^2+\xi_2^2+\xi_3^2/a^2)^2} \frac{\Lambda^{(3)}(|\xi|)}{a^5} d\xi_1 d\xi_2 d\xi_3$$
(3.3)

Замена переменных, соответствующая введению сферической системы координат, с учетом соотношения

$$\int_0^\infty \frac{4\pi}{a} \Lambda^{(3)}(|\xi|) |\xi|^2 d|\xi| = 1$$
(3.4)

позволяет найти значения интегралов (3.3) при $a \leq 1$:

$$4R_{13} = (\alpha^2+1)\alpha^{-4} [(\alpha^2+3)\alpha^{-1} \arctg \alpha - 3]$$

$$R_{33} = (1+\alpha^2)\alpha^{-4} [1.5+\alpha^2-1.5(1+\alpha^2)\alpha^{-1} \arctg \alpha]$$

$$R_{11} = {}^3/_{16}\alpha^{-4} [\alpha^2+3+(\alpha^2+1)(\alpha^2-3) \arctg \alpha]$$

$$R_{12} = {}^1/_{3}R_{11}, a^{-2}=1+\alpha^2$$
(3.5)

Скаляры A, B, D в соотношениях (3.2) инвариантны относительно поворота системы координат и ориентаций n_i . Следовательно, после сравнения с формулами (3.3) получим соотношения

$$R_{11}=3A, R_{13}=A+B, R_{33}=3A+6B+D$$
(3.6)

которые определяют значения A, B, D . Соотношения (2.3) и (3.1) преобразуют тензорное уравнение (2.10) к виду

$$\alpha_{ij} = \langle e_{ij} \rangle_n - q(2R_{ijk}^{(n)} \langle e_{kl} \rangle_n - R_{ihl}^{(n)} \langle e_{jk} \rangle_n - R_{jkl}^{(n)} \langle e_{hi} \rangle_n) =$$

$$= [\langle e_{ij} \rangle - C \langle e_{ij} \rangle_1] / (1-C)$$
(3.7)

Таким образом задача сводится к вычислению значений $\langle e_{ij} \rangle_n$ из уравнений (3.7), в которых коэффициенты определены формулой (3.2)

$$\alpha_{ij} = \langle e_{ij} \rangle_n + q [(6A+2B) \langle e_{ij} \rangle_n - 2B \delta_{ij} n_k n_l \langle e_{kl} \rangle_n + (3B+D) (n_i n_l \langle e_{jl} \rangle_n + n_j n_l \langle e_{il} \rangle_n) - 2D n_i n_j n_k n_l \langle e_{kl} \rangle_n] \quad (3.8)$$

В дальнейшем будем использовать свойство равновероятности направлений n_i . При осреднении по ансамблю следует, что $\langle n_i n_j \rangle = \frac{1}{3} \delta_{ij}$, $\langle n_i n_j n_k n_l \rangle = \frac{1}{15} \delta_{(ij) \delta_{kl}}$.

Произведя последовательно свертки уравнения (3.8) с $n_i n_j$ и n_j и выполняя осреднения по равновероятным направлениям, получим

$$\alpha_{ij} = [1 + q(6A+2B)] \langle e_{ij} \rangle_1 + \frac{1}{15} \{ [2(3B+D) / (q^{-1} + 6A + 5B + D)] [5 + 2(D-B) / (q^{-1} + 6A + 6B)] - 4D / (q^{-1} + 6A + 6B) \} \alpha_{ij} \quad (3.9)$$

Среднее деформированное состояние включений вычисляется из формулы (3.9) с учетом правой части уравнения (3.7)

$$\langle e_{ij} \rangle_1 = \langle e_{ij} \rangle \{ C + (1-C) [1 + q(6A+2B)] F^{-1} \}^{-1} \quad (3.10)$$

$$F = 1 + \frac{1}{15} Dq (1 + 6qA + 6qB)^{-1} - 2(3B+D)q [1 + q(6A+5B+D)]^{-1} [\frac{1}{3} + \frac{2}{15} (D-B)q (1 + 6qA + 6qB)^{-1}]$$

Диссипативная функция (2.8) композиционного материала вычисляется по соотношению (3.10) и соответствует условию пластичности Мизеса с предельным значением сдвиговых напряжений

$$k^* = k \{ 1 + qC / [C + (1-C) (1 + 6qA + 2qB) F^{-1}] \}^{1/2} \quad (3.11)$$

Используя соотношения (3.6), найдем

$$6A + 2B = 4R_{12} + 2R_{13}, \quad 3B + D = R_{33} - 3R_{13} \quad (3.12)$$

$$6A + 5B + D = R_{33} + 4R_{12} - R_{13}, \quad D - B = R_{33} + 4R_{12} - 7R_{13}$$

В результате исключения коэффициентов A, B, D с помощью соотношений (3.12) и проведения соответствующих преобразований будем иметь

$$[1 + 2q(3A+B)] F^{-1} = [1 + 2q(2R_{12} + R_{13})] \left\{ 1 - \frac{2}{15} q \left[\frac{3(R_{13} - R_{12})}{1 + 6qR_{13}} + \frac{4(R_{33} - 3R_{13})}{1 + q(R_{33} + 4R_{12} - R_{13})} \right] \right\}^{-1} \quad (3.13)$$

В итоге, используя соотношения (3.5), для композиционных материалов с включениями, характеризующимися $a \leq 1$, получим

$$[1 + 2q(3A+B)] F^{-1} = \left\{ 1 + \frac{1}{15} q \alpha^{-5} [3(1 + \alpha^2)^2 \arctg \alpha - 5\alpha^3 - 3\alpha] \right. \\ \left. \left\{ 1 - \frac{2q}{15} \left[\frac{3}{8} \frac{3(1 + \alpha^2)(\alpha^2 + 5) \arctg \alpha - 13\alpha^3 - 15\alpha}{2\alpha^5 + 3q(1 + \alpha^2) [(\alpha^2 + 3) \arctg \alpha - 3\alpha]} + \frac{2(1 + \alpha^2) [(4\alpha^2 + 15)\alpha - 3(3\alpha^2 + 5) \arctg \alpha]}{2\alpha^5 + q [(2\alpha^4 + 7\alpha^2 + 6)\alpha - 3(1 + \alpha^2)(\alpha^2 + 2) \arctg \alpha]} \right] \right\}^{-1} \right\} \quad (3.14)$$

В предельном переходе при $\alpha \rightarrow 0$ ($a \rightarrow 1$) уравнение (3.14) принимает вид

$$[1 + 2q(3A+B)] F^{-1} = 1 + 0.4q \quad (3.15)$$

Подставляя (3.15) в (3.11), получим формулу для предела пластичности в случае сферических включений

$$k^* = k \{ 1 + qC / [C + (1-C) (1 + 0.4q)] \}^{1/2} \quad (3.16)$$

Действительно, из соотношений (3.5), (3.6) следует, что $A = \frac{1}{15}$, $B = -D = 0$ и формулы (3.10) для F , (3.11) в этом случае при $a = 1$ определя-

ют выражение для предела пластичности, совпадающее с (3.16). В случае $a \ll 1$ ($\alpha \gg 1$), когда включения имеют пластинчатую форму, при $q \gg 1$ с учетом, что $\operatorname{arctg} \alpha \rightarrow \pi/2$ (при $\alpha \rightarrow \infty$), соотношение (3.14) будет равно

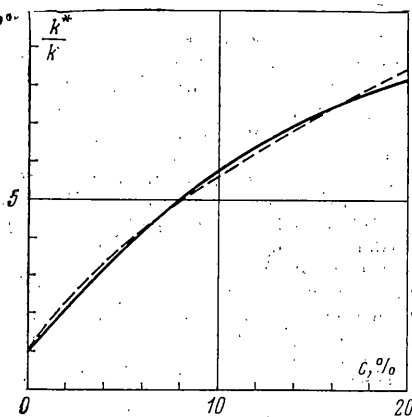
$$[1+2q(3A+B)]F^{-1} = \frac{2.14(1+1.177aq)(1+2.35aq)}{1+2.1aq} \quad (3.17)$$

Подставляя (3.18) в (3.12), получим

$$k^* = k \{1 + qC [C + (1-C) 2.14(1+1.177aq)(1+2.35aq)(1+2.1aq)^{-1}]^{1/2}\} \quad (3.18)$$

Воспользуемся далее соотношением (3.18) для исследования материала САП, который содержит высокотвердые частицы Al_2O_3 в алюминиевой матрице. САП получают путем спекания и прессования окисленной с поверхности алюминиевой пудры, которая имеет форму чешуек толщиной менее 1 мкм с размером плоской поверхности до десятков микрон.

На фигуре показаны экспериментальная (сплошная линия) и расчетная (пунктирная) зависимости предела пластичности $\sigma_{0.2}$ для четырех марок САП от объемной концентрации C [4]. Все величины отнесены к их значению при $C=0$, поэтому в условиях идеальной пластичности их можно рассматривать как k^*/k . Для расчета использованы усредненные данные: толщина окисной пленки $h=0.055$ мкм, размер частиц $L=40$ мкм, $a=1.25 \cdot 10^{-3}$; $2k=4.5$ кгс/мм², $\sigma_{0.2}^1=2k_1=1100$ кгс/мм², $q=4.94 \cdot 10^4$ [4, 7, 8].



Ниже дано сопоставление вычисленных значений k^*/k с экспериментальными $[k^*/k]_0$ для четырех типов САП (в соответствии с порядком следования строк):

C	k^*/k	$[k^*/k]_0$	L
0.075	4.9	4.8	30–50
0.110	5.97	6.22	10–16
0.155	7.23	7.11	—
0.200	8.42	8.22	—

Из сравнения графических зависимостей, приведенных на фигуре, можно сделать вывод, что теория дает хорошее совпадение с экспериментальными данными.

Поступила 17 VII 1979

ЛИТЕРАТУРА

1. Основы материаловедения. (Под ред. Сидорина И. И.), М., «Машиностроение», 1976, с. 246–248.
2. Ивлев Д. Д. Теория идеальной пластичности. М., «Наука», 1966.
3. Болотин В. В. Механика композиционных материалов и конструкций из них. В сб.: Строительная механика. М., Стройиздат, 1972.
4. Гельфанд И. М. Обобщенные функции. М., Физматгиз, 1963.
5. Левин В. М. К определению упругих и термоупругих постоянных композитных материалов. Изв. АН СССР, МТТ, 1976, № 6.
6. Эшелби Дж. Континуальная теория дислокаций. Изд-во иностр. лит., 1963.
7. Самсонов Г. В. Физико-химические свойства окислов. М., «Металлургия», 1978.
8. Келли Л. Высокопрочные материалы. М., «Мир», 1976.